

03

© 1991 г.

## ВЗАИМОДЕЙСТВИЕ ЛЕТЯЩЕГО СО СВЕРХЗВУКОВОЙ СКОРОСТЬЮ ТЕЛА С ТОЧЕЧНЫМ ВЗРЫВОМ

*B. П. Головизнин, И. В. Красовская*

Методом численного моделирования рассмотрена задача о взаимодействии летящего со сверхзвуковой скоростью затупленного тела со сферической взрывной волной. Изучен процесс формирования течения около тела и получены данные об изменении структуры ударного слоя в зависимости от газодинамических параметров взрывной волны.

### Введение

Исследование взаимодействия движущегося со сверхзвуковой скоростью тела с различного типа неоднородностями во встречном потоке остается одной из актуальных задач аэродинамики. В качестве неоднородностей рассматривались ударные волны [1-9], контактные поверхности, разделяющие газы различной плотности [10-13], тепловые неоднородности [14, 15].

В данной работе обсуждаются результаты численного расчета осесимметричного течения около тела, движущегося с постоянной сверхзвуковой скоростью через область взрыва. В качестве модели взрыва принимается модель мгновенного точечного взрыва в однородной среде с противодавлением [16]. Анализируется характер изменений структуры течения взаимодействия в зависимости от распределения газодинамических параметров во взрывной области.

### 1. Постановка задачи

В начальный момент времени  $t_0$  фронт сферической взрывной волны радиуса  $X_1(t_0)$ , распространяющейся в однородной, изотропной, покоящейся относительно центра взрыва  $O'$  среде, касается точки симметрии  $P$  головного скачка

перед затупленным по сфере конусом, летящим со сверхзвуковой, постоянной относительно среды скоростью  $(-\mathbf{V}_\infty)$  (рис. 1). Введем прямоугольную декартовую систему координат  $XOY$  с началом в центре сферической части тела и осью  $OX$ , направленной вдоль оси течения. Расчет параметров течения взаимо-

действия (область 2 на рис. 1) проводится в рамках модели невязкого нетеплопроводного газа с  $\gamma = \text{const}$  ( $\gamma$  — отношение удельных теплоемкостей), движение которого описывается уравнениями Эйлера в безразмерном виде [9]. В качестве масштабных величин для давления, плотности, скорости, линейных размеров и времени приняты соответственно  $p_\infty$ ,  $\rho_\infty$ ,  $(p_\infty/\rho_\infty)^{1/2}$ ,  $(E/\alpha_0 p_\infty)^{1/2}$ ,  $\{(E/\alpha_0 p_\infty)^{1/2} \times (p_\infty/\rho_\infty)^{-1/2}\}$ . Здесь  $p_\infty$  и  $\rho_\infty$  — давление и плотность газа в невозмущенной средой и взрывом (область 3 на рис. 1),  $E$  — энергия взрыва,  $\nu$  — параметр симметрии (для сферического взрыва  $\nu=3$ ),  $\alpha_0=\alpha_0(\nu, \gamma)$  — безразмерный множитель [16].

Решение задачи получено численно с использованием явной двухшаговой схемы Мак-Кормака. Расчет проведен с выделением головной ударной волны  $ABC$  (рис. 1), которая рассматривалась как математический разрыв. Газодинамические разрывы в ударном слое за головной ударной волной просчитывались сквозным образом. Подробно конечно-разностный метод расчета изложен в [9].

## 2. Результаты расчета

Определяющими параметрами течения взаимодействия, схема которого приведена на рис. 1, являются геометрические характеристики тела, скорость движения тела относительно невозмущенной среды, показатель адиабаты  $\gamma$ , расстояние  $O'O$  между центром взрыва и центром сферической части тела при  $t=t_0$ , интенсивность фронта взрывной волны при  $t=t_0$ .

Рассмотрим результаты трех вариантов расчета. Во всех вариантах  $V_\infty = 2.366$  ( $M_\infty = 2$ ),  $\alpha = 85^\circ$ ,  $\angle OED = 90^\circ$  (рис. 1),  $O'O = 0.2148$ ,  $\gamma = 1.4$ . Интенсивность взрывной волны варьировалась. В таблице приведены значения давления  $p_1$ , плотности  $\rho_1$  за фронтом взрывной волны и числа Маха  $M_1$  фронта при  $t=t_0$ .

В соответствии со свойством подобия решения задачи о мгновенном точечном взрыве с противодавлением [16] энергии взрывов в рассматриваемых вариантах связаны соотношениями  $E^{(1)} = 3.82E^{(2)}$ ,  $E^{(3)} = 0.0086E^{(2)}$ .

На рис. 2 и 3 приведены распределения давления и плотности внутри взрывной зоны при  $t=t_0$  для вариантов 1—3. Известно, что для динамики точечного взрыва с противодавлением характерны две стадии. На ранней стадии взрыва решение сохраняет качественное сходство с автомодельным. Основная масса газа,

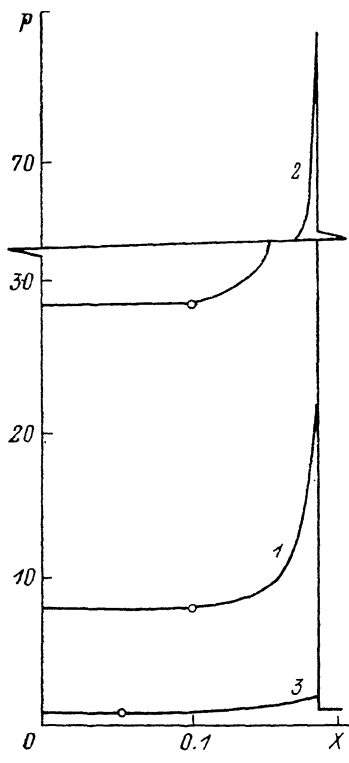


Рис. 2.

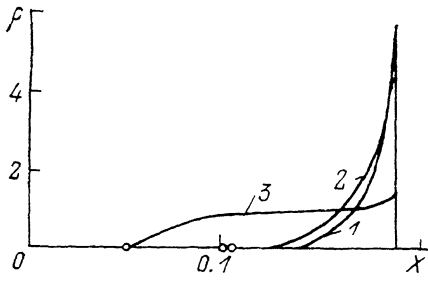


Рис. 3.

возмущенного взрывом, сосредоточивается вблизи фронта взрывной волны. В прифронтовой зоне наблюдаются значительные пространственные градиенты давления и плотности. В центральной области взрыва (граница отмечена кружком), где плотность газа практически равна нулю, а температура очень высока, в распределении давления вдоль радиуса взрывной волны имеется плато.

На второй, поздней стадии взрыва течение существенно отличается от автомодельного. Давление в центре взрыва становится ниже  $p_\infty$ . Происходит отток газа к центру взрыва, что вызывает повышение плотности в средней части зоны и резкий спад к центру. В распределениях избыточного давления ( $\Delta$ ) и скорости по радиусу взрывной волны появляются отрицательные фазы. Как видно из графиков на рис. 2, 3, взрывные волны, соответствующие вариантам 1 и 2, к моменту столкновения с головным скачком находятся в первой, ранней стадии развития взрыва, а соответствующая варианту 3 — в поздней.

В процессе сверхзвукового движения затупленного тела через область взрыва около него возникает сложное нестационарное поле течения, в котором

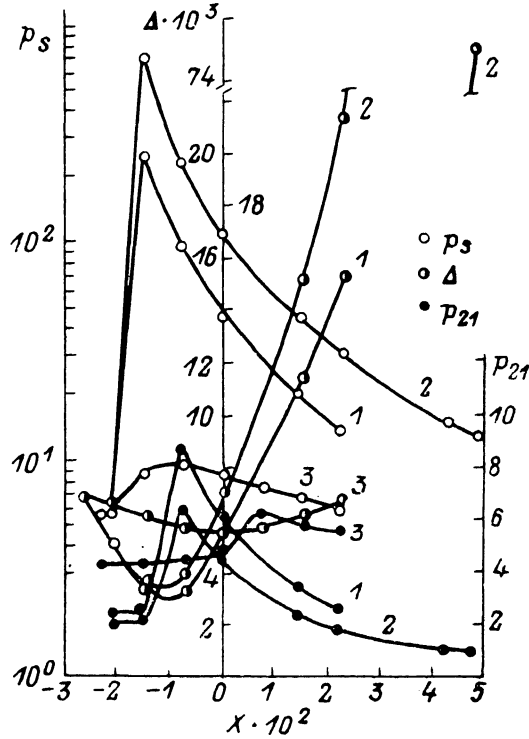


Рис. 4.

меняются характер ударно-волновых взаимодействий и структура ударного слоя. На рис. 4 для трех рассмотренных вариантов расчета представлены зависимости отхода  $\Delta$  головного скачка на нулевой линии тока, отношения давлений  $p_{21}$  на головном скачке в точке симметрии и давления  $p_p$  в лобовой точке тела от величины  $X = X_1(t) - O''O(t)$ , которая характеризует степень проникновения тела в область взрыва. Здесь  $X_1(t)$  и  $O''O(t)$  — текущие радиус взрывной волны и расстояние между центром взрыва и началом системы координат  $XOY$  (рис. 1).

В соответствии со структурой и динамикой взрывной зоны точечного взрыва процесс сверхзвукового движения тела по ней условно можно себе представить в виде двух стадий: стадии нестационарного взаимодействия летящего со сверхзвуковой скоростью тела с ударной волной, за фронтом которой параметры меняются в пространстве и во времени, и стадии движения тела в высокотемпературной, с малой плотностью центральной зоне взрыва. На первой стадии для всех вариантов расчета изменение величин  $\Delta$ ,  $p_{21}$  и  $p_p$  немонотонно. Уменьшение  $\Delta$  в начале процесса есть следствие преломления фронта взрывной волны на головном скачке. Преломленная взрывная волна, двигаясь в ударном слое, достигает поверхности тела и отражается от нее. Этому моменту времени соответствует пиковое значение давления  $p_p$  на теле. Отраженная от поверхности тела ударная волна взаимодействует с контактным разрывом, образовавшимся при преломлении первичных фронтов взрывной и головной ударных волн, и дого-

няет преломленный головной скачок. В результате дугона образуется конфигурация из новой результирующей головной ударной волны, контактного разрыва и обращенной к телу волны разрежения. При этом величина отхода  $\Delta$  головного скачка увеличивается, а отношение давлений  $p_{21}$  уменьшается.

Одновременно с ударно-волновыми взаимодействиями идет процесс обтекания тела спутным потоком за фронтом взрывной волны. Для вариантов расчета 1, 2 размеры участка с резкими пространственными градиентами газодинамических параметров за фронтом падающей взрывной волны сравнимы с характерным размером (в данном случае радиусом сферического затупления) тела. Вслед-

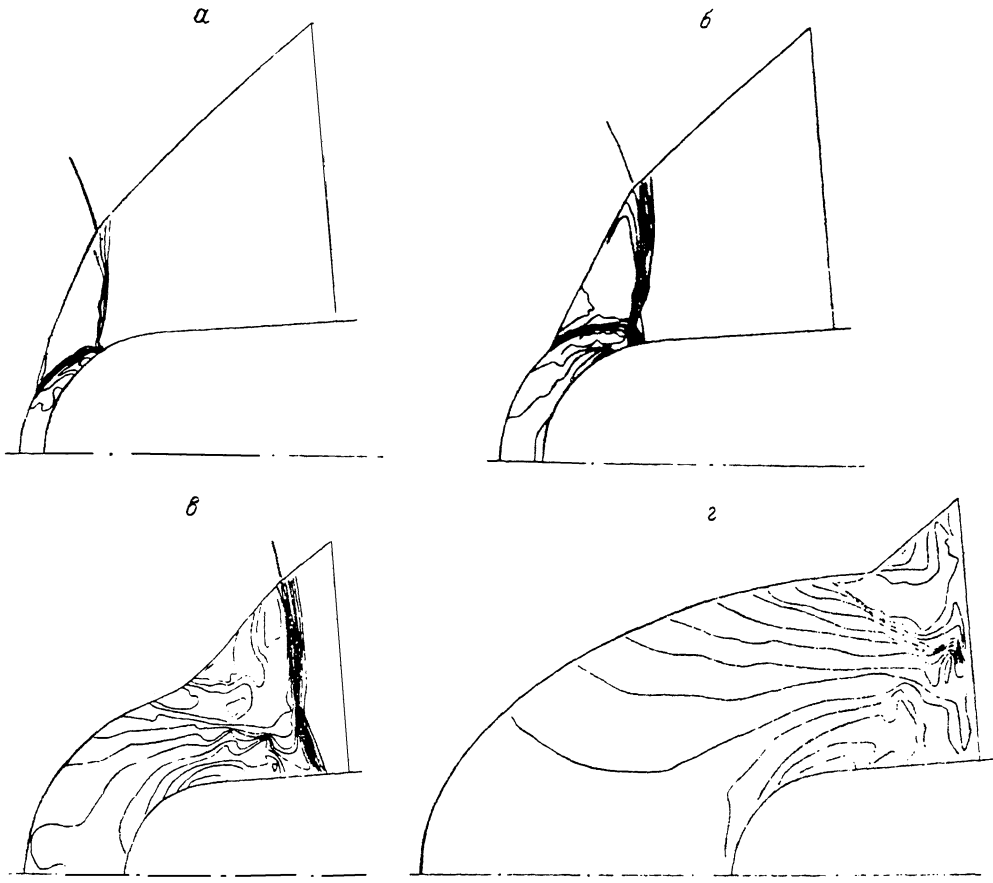


Рис. 5.

ствие этого первая стадия процесса сверхзвукового движения тела через область взрыва для указанных вариантов сугубо нестационарна. Начиная с моментов времени, которым соответствуют  $X \approx 0.015$  (рис. 4), передняя часть головного скачка, попадая в область газа с малой плотностью и высокой температурой, ускоряется. Далее отход  $\Delta$  также продолжает расти по мере того, как тело входит в центральную высокотемпературную зону взрыва с практически нулевой плотностью. Интенсивность  $p_{21}$  головного скачка асимптотически стремится к единице (кривые 1, 2 на рис. 4).

Характер распределения давления и плотности внутри зоны взрыва для варианта 3 (рис. 2, 3) дает основание предположить квазистационарность течения около тела на первой стадии его движения по области точечного взрыва. В момент времени, которому соответствует  $X = 0.0225$ , тело еще находится в зоне плотного газа. Из приведенной на рис. 3 зависимости  $\rho = \rho(X)$  (кривая 3) понятно, что с течением времени, когда головной скачок подойдет к участку резкого падения плотности, должна возникнуть ситуация, характерная для взаимодействия ударной волны с контактным разрывом, разделяющим газы с вы-

сокой и низкой плотностью. При этом образуются ударная волна существенно меньшей интенсивности и направленная к телу волна разрежения. Дальнейшее движение в центральной зоне взрыва, так же как для вариантов 1, 2, должно сопровождаться резким ростом отхода  $\Delta$  и уменьшением отношения давлений  $p_{21}$  на головном скачке. Длительность второй стадии для варианта 3 меньше длительности первой.

Развитие картины течения взаимодействия для варианта 2 начальных условий показано на рис. 5, а—г, где представлены поля равных значений плотности в различные моменты времени. Видно, что по мере распространения тела внутрь зоны точечного взрыва передняя часть головной ударной волны сильно вытягивается вперед. При этом, как было показано выше, ударная волна вырождается в волну Маха.

### Список литературы

- [1] *Taylor T. D., Hudgens H. E.* // AIAA J. 1968. Vol. 6. N 2. P. 198—204.
- [2] *Edney B.* // AIAA J. 1968. Vol. 6. N 1. P. 15—21.
- [3] *Kutler P., Sacell L.* // AIAA J. 1975. Vol. 13. N 10. P. 1360—1367.
- [4] *Kutler P., Sacell L., Aiello G.* // AIAA J. 1975. Vol. 13. N 3. P. 361—367.
- [5] *Лягов В. Н.* // Изв. АН СССР. МЖГ. 1979. № 6. С. 70—76.
- [6] *Прокопов Г. П., Степанова М. П.* Препринт ИПМ АН СССР. № 72. М., 1974. 26 с.
- [7] *Champneys J., Chaussee D., Kutler P.* AIAA Paper. N 82-0027. 1982. 13 р.
- [8] *Каменецкий В. Ф., Турчак Л. И.* // Изв. АН СССР. МЖГ. 1984. № 5. С. 141—147.
- [9] *Головизнин В. П., Красовская И. В.* Препринт ФТИ АН СССР. № 1281. Л., 1988. 59 с.
- [10] *Каменецкий В. Ф., Турчак Л. И.* // Численное моделирование в аэрогидродинамике. М.: Наука, 1986. С. 104—115.
- [11] *Головачев Ю. П., Леонтьева Н. В.* // ЖВММФ. 1989. № 1. С. 148—151.
- [12] *Головачев Ю. П., Леонтьева Н. В.* // ЖВММФ. 1989. № 5. С. 791—793.
- [13] *Бойнович П. А., Фурсенко А. А., Юферев С. В.* // Препринт ФТИ АН СССР. № 1321. Л., 1989. 40 с.
- [14] *Головизнин В. П., Мишин Г. И., Серов Ю. Л., Язор И. П.* // ЖТФ. 1987. Т. 57. Вып. 7. С. 1433—1435.
- [15] *Головачев Ю. П., Леонтьева Н. В.* Препринт ФТИ АН СССР. № 1178. Л., 1987. 38 с.
- [16] *Кестенбойм Х. С., Росляков Г. С., Чудов Л. А.* Точечный взрыв. Методы расчета. Таблицы. М.: Наука, 1974. 255 с.

Физико-технический институт  
им. А. Ф. Иоффе  
Санкт-Петербург

Поступило в Редакцию  
10 апреля 1990 г.